論文 道路橋RC床版における疲労劣化と振動特性の関係に関する 基礎的研究

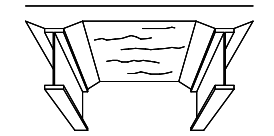
大西 弘志*1·岡田 裕昭*2·内田 慎哉*3·鎌田 敏郎*4

要旨: 道路橋床版の維持管理において、その劣化の程度を知るための簡便な指標として、鉄 筋コンクリート床版(RC床版)の振動特性(固有振動数)に着目することを考えた。荷重 の走行に伴う床版の疲労劣化が進行するに伴い、床版の振動特性がどのように変化するのか を知るため、RC床版のモデルを用いた輪荷重走行試験と並行して衝撃振動試験を行い、床 版の劣化過程と振動特性の変化がどのように関係しているのかを調査してみることにした。

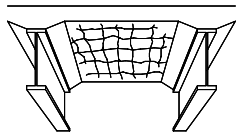
キーワード: 道路橋RC床版,疲労劣化,振動特性,輪荷重走行試験

1. はじめに

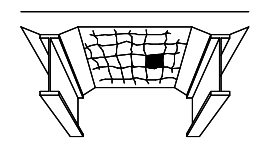
わが国の道路網を構成する重要な要素の一つ である橋梁において,維持管理上最も重要な部 材の一つとして床版がある。道路橋の床版はそ の形式や使用材料によって様々に分類されるが, その中でも鉄筋コンクリート床版(以下, RC 床版) は昭和40年代からコンクリートの抜け落 ちなどの損傷事例が確認され、その劣化機構を 解明するための数多くの研究がなされてきた。 その結果、現在ではRC床版におけるコンクリ ートの抜け落ち等の現象は広義の疲労現象であ り, その劣化過程は図-1に示されるようなもの になることが明らかになった。また,写真-1に 示す輪荷重走行試験機を用いて行った疲労試験 結果をもとに S-N 曲線が与えられており、現在 のRC床版の疲労耐久性はこの曲線を基準にし て疲労耐久性を評価されることが一般的である。 ただし、S-N 曲線を供用中の橋梁に適用しようと 考える場合, 供用開始から評価時までの車両通 行履歴(車両軸重,走行位置)を正確に把握す る必要があり、すでに供用されている多くの実 橋梁への適用する際にはいくつかの仮定が必要 となる。



(a) 一方向ひび割れの発生 (b) 二方向ひび割れの発生



(c) ひび割れ網の発達と 角落ちの発生



(d) 床版の陥没

図-1 RC床版下面のひび割れ進展過程 1)



写真-1 クランク (鉄輪) 式輪荷重走行試験機

- *1 大阪大学大学院工学研究科地球総合工学専攻助手 博士(工学) (正会員)
- *2 大阪大学工学部地球総合工学科
- *3 大阪大学大学院工学研究科地球総合工学専攻(正会員)
- *4 大阪大学大学院工学研究科地球総合工学専攻教授 工博 (正会員)

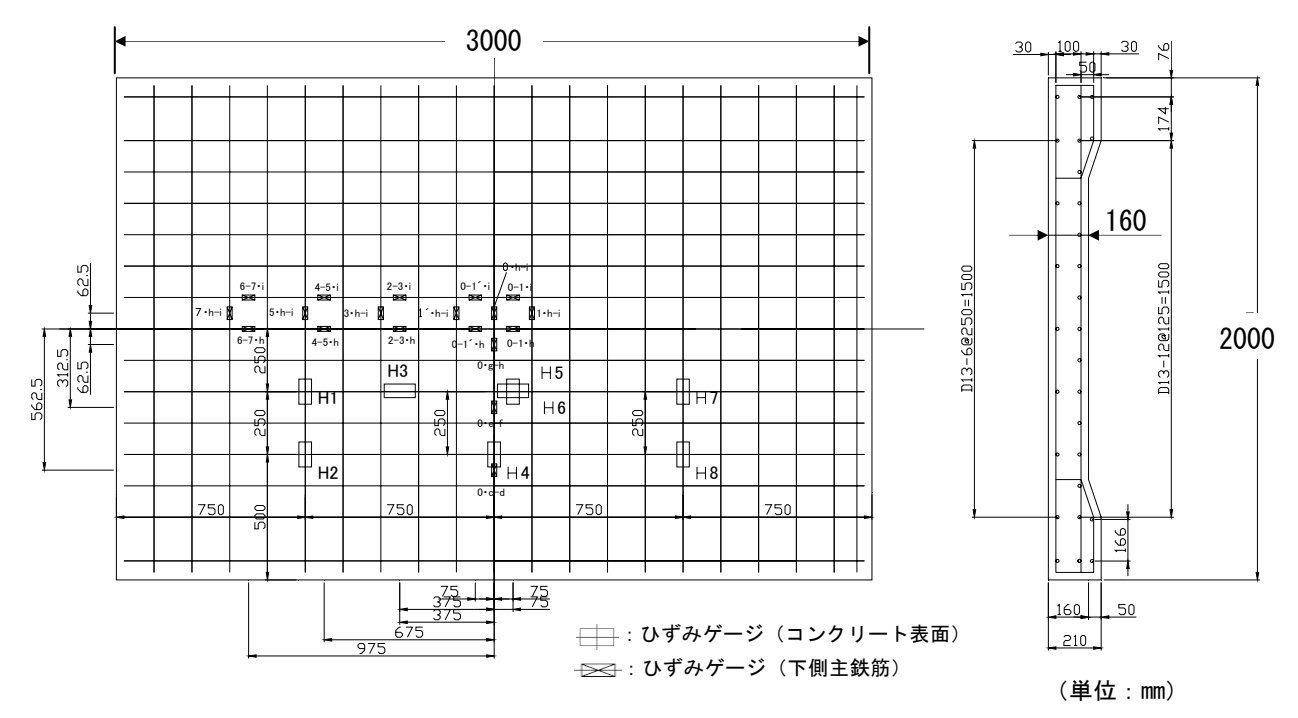


図-2 供試体概要図

これに対し、床版の置かれている状況を把握することを目的とした調査方法として、床版の活荷重たわみ(弾性変形)や床版下面に発生するひび割れの分布状態を調査する方法 ³⁾が提案されている。これらの方法では、床版のたわみやひび割れの密度により床版に発生している損傷の程度(以下、劣化度)を比較的精度良く求められることが分かっており、一般的な調査手法として認められている³⁾。

しかしながら,近年の全国規模での新型式道路橋床版の適用と道路橋床版における疲労損傷の進展や種々の補修・補強の実施に伴い,上記の調査方法による状況把握が適切に実施できない事例が増加している。そこで著者らは床版の下面からの検査が適切にできない床版を対象とした検査方法として衝撃振動試験を用いる手法を考え,その妥当性を検討するための試験を実施した。

2. 実験の概要

2.1 供試体

本研究で使用した供試体形状の概要を図-2に示す。今回はこの図に示した床版を3体使用

した。この供試体の橋軸方向長さは3000mm,橋軸直角方向長さは2000mmであり、床版支間は1800mmである。床版支間部の厚さは160mmである。床版引張側主鉄筋、配力筋の配置間隔はそれぞれ150mm、125mmであり、圧縮側のそれは引張側の2倍である。使用したコンクリートの試験開始時の圧縮強度は42.3MPa,弾性係数は32.1GPa,ポアソン比は0.189であった。また、鉄筋の引張試験を行った結果、主鉄筋の降伏強度、引張強度はそれぞれ321MPa,463MPaであり、弾性係数は193GPaであった。これに対し、配力筋の降伏強度、引張強度はそれぞれ344MPa,488MPaであり、弾性係数は195GPaであった。

2.2 輪荷重走行試験

本研究では床版に疲労損傷を与えるための手法として輪荷重走行試験を実施した。今回の試験で採用した載荷プログラムを図-3に示す。本研究では3体の供試体のうち2体は使用限界まで、残りの1体については押抜きせん断破壊を生じるまで走行載荷を実施した。

走行試験中は適宜走行を中断して荷重の静的 載荷を行い、床版に生じるたわみやひずみを確

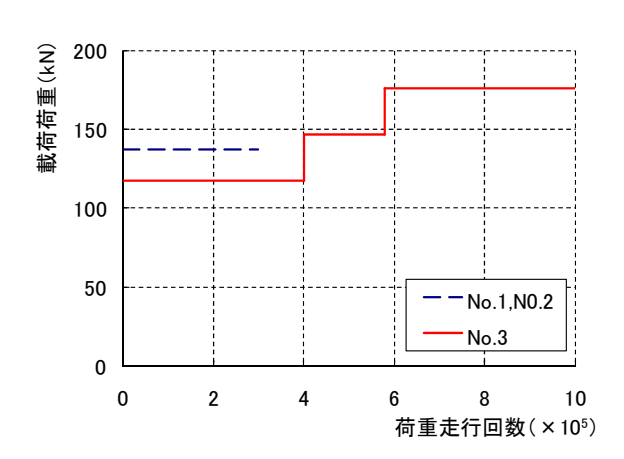


図-3 輪荷重走行試験時の載荷プログラム

認することにした。たわみを計測するための変位計は床版中央から橋軸方向、橋軸直角方向にそれぞれ200mmの間隔で配置した。また鉄筋やコンクリート表面のひずみを計測するためのゲージは図-2中に示される位置に配置した。

2.3 衝擊振動試験

本研究では、床版の劣化状態を把握するための非破壊検査として衝撃振動試験を実施した。この検査方法は床版の1ヶ所に設置された厚さ5mmのゴム板上に高さ15cmの位置から重さ4kgの木槌を自由落下させることにより衝撃力を与え、その力によって発生する振動を計測し、床版の面外方向の振動における固有振動数を求め、床版の剛性低下を把握するものである。今回の実験では、輪荷重走行試験中に適宜荷重走行を停止させ、静的載荷試験を実施しているので、その時点で試験を行い、静的載荷試験で得られた各種指標との対応を確認することにした。なお、今回の試験では図-4に示す位置に打撃位置と加速度計設置位置を設定した。

2.4 床版劣化度の評価2)

一般に床版の維持管理においては、その疲労 損傷の程度を表す指標として劣化度を導入する。 劣化度はその床版が全く損傷を有していない、 健全な状態から損傷を発生することによって使 用限界状態にどれだけ近づいているのかを簡便 に表すための指標である。劣化度を決定する際

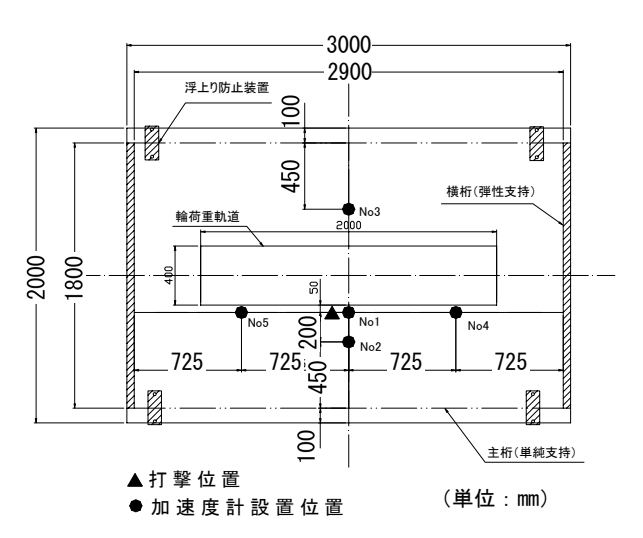


図-4 加速度計の配置

に用いられる項目としては、荷重が静的に作用 しているときの弾性変形成分である活荷重たわ みや床版の下面に発生しているひび割れの総量 を比較しやすくするために用いられる指標であ るひび割れ密度がある。

活荷重たわみを指標として用いた場合の劣化度は次式で与えられる。

$$D_{\delta} = \frac{\delta - \delta_0}{\delta_{RC} - \delta_0} \tag{1}$$

ただし、 D_{δ} : 活荷重たわみによる劣化度、 δ : 実際に計測された活荷重たわみ(mm)、 δ_{θ} : 全断面有効を仮定したときの活荷重たわみ計算値 (mm)、 δ_{RC} : 引張側コンクリートを無視したときの活荷重たわみ計算値(mm)

(1)式中に使用されている計算値には Huber の 板理論式を用いた簡便な数値計算により与えられる結果が採用されることが多いので本研究でもそれに倣って劣化度の算出を行っている。

ひび割れ密度を指標として用いた場合の劣化 度は次の式で与えられる。

$$D_C = \frac{C_d}{10.0} \tag{2}$$

ただし、 D_C : ひび割れ密度による劣化度

 C_d : 床版下面のひび割れ密度(m/m²)

(2)式では分母に 10m/m² という値を用いているが、この数値は道路管理者によっては橋梁の置かれた状況を加味して、より適正な値が決められている場合があるが、今回は実験の結果に

関しての算出であるので、この値を採用している。また、本研究では土木学会「道路橋床版の合理化検討小委員会」の研究成果⁴⁾を参考として、ひび割れ密度の算出範囲を輪荷重の走行範囲に限定して実施している。これは、今回使用したクランク式と呼ばれる試験機では床版の橋軸方向端部においてひび割れ密度が大きく低下する傾向があるためであり、より実橋梁で発生するひび割れに近い状況の部分だけを取り出して評価するための措置である。

3. 実験結果と考察

3.1 輪荷重走行試験

輪荷重走行試験で床版上に荷重を走行させた 結果の概要を表-1に示す。今回の試験では,実 験上の都合により,3つの床版全てを破壊するこ とは避けねばならなかったので,2体の供試体に 関しては使用限界を超過した状態まで荷重の走 行を行い,残りの1体に関しては床版に押抜き せん断破壊が発生するまで試験を行った。

床版中央の活荷重たわみから与えられる劣化度 D_{δ} の変動を図-5 に示す。この図では供試体間の比較を行いやすくするために,縦軸に荷重を 98kN に換算した活荷重たわみをとり,横軸には既往の研究で示されている S-N 曲線により与えられる,荷重を 98kN に換算した場合の走行回数(等価走行回数)を示している。今回の輪荷重走行試験では試験終了時の各床版の劣化度を求めたところ,No.1 床版の劣化度は 1.21,No.2 床版の劣化度は 0.99 であり,破壊した No.3 床版の劣化度は 1.25 であった。

床版下面のひび割れの発生状況を調査した結果を図-6 に示す。図中に示さなかった供試体 No.2 のひび割れ発生状態は No.1 のそれと良く似たものであった。この図を見ると、供試体 No.3 ではかなり細かなひび割れ網が形成され、ひび割れの分散状態が良好である。これに対し、No.1 床版ではひび割れがそれほど分散していないようにも見えるが、ひび割れ密度の変動を確認してみると、3 体の供試体間でそれほど大きな変化

表-1 輪荷重走行試験 走行結果

| 供試体 | 走行回数(回) | | | 最終状態 |
|------|-----------|---------|-----------|-------|
| | 荷重 1 | 荷重 2 | 荷重 3 | 取於仏怨 |
| No.1 | 12000 | | | 使用限界 |
| | (137kN) | | | (未破壊) |
| No.2 | 50000 | | | 使用限界 |
| | (137kN) | | | (未破壊) |
| No.3 | 400000 | 180000 | 74556 | 終局限界 |
| | (117.6kN) | (147kN) | (176.4kN) | (破壊) |

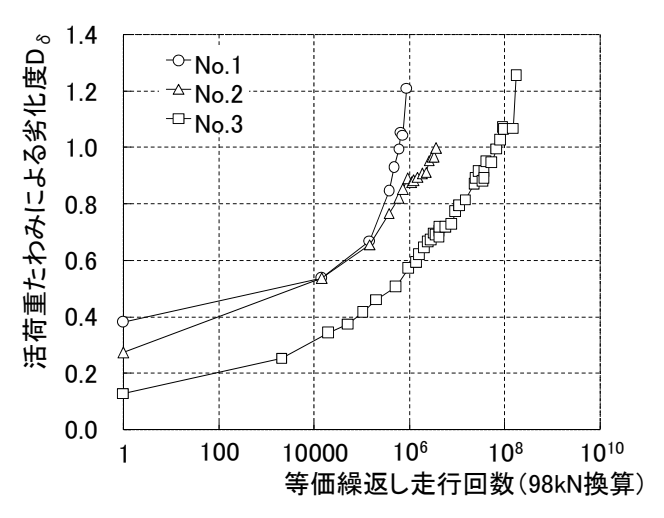
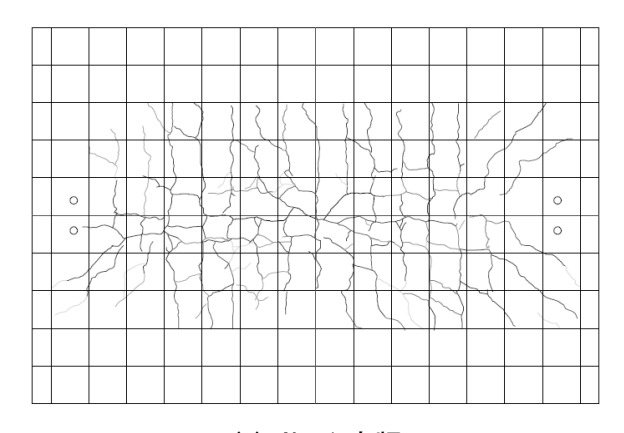
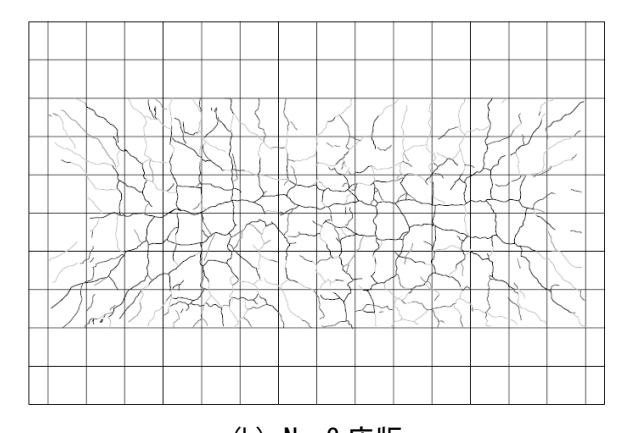


図-5 劣化度 D_{δ} の変動



(a) No.1 床版



(b) No.3 床版

図-6 ひび割れ観察結果

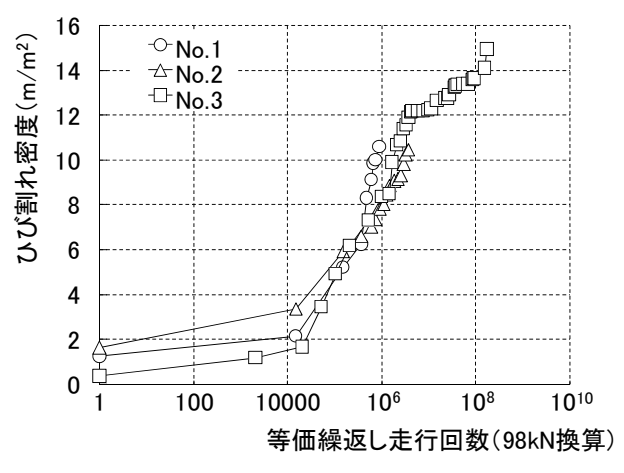


図-7 ひび割れ密度の変動

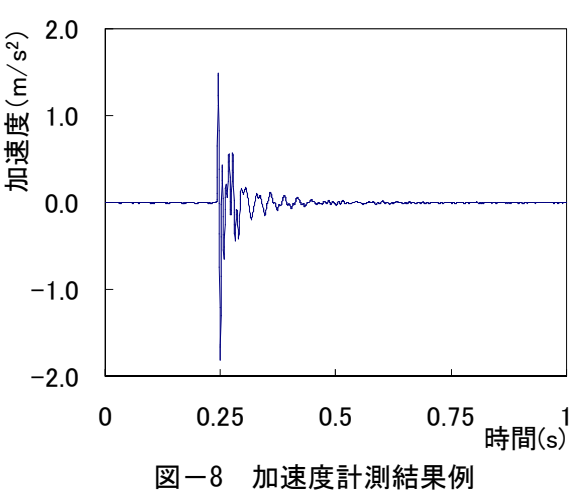
があるわけではないことが分かる(図-7参照)。 このことから、今回の試験においては供試体間 のひび割れの発生量の違いは考えなくても良い と判断した。

3.2 衝擊振動試験

輪荷重走行試験と平行して実施した衝撃振動試験の結果(加速度計による計測結果)の一例を図-8に示す。本研究ではこの図に示されるような計測結果に対して高速フーリエ変換(FFT)を行い、そのスペクトル分布を求めた。その一例を図-9に、輪荷重走行試験の進行に伴う固有振動数の変動を図-10に示す。この図に示されるように、今回の FFT 計算結果では固有振動数を30Hz~70Hz の範囲で確認することができ、またその値が試験の進行と共に低周波側へ移動する傾向があることが確認できた。なお、今回確認できた固有振動数は位相差スペクトルを確認することにより、2次のモードに対応した振動数であることが確認できている。

3.3 床版劣化度の比較

輪荷重走行試験で与えられる従来の指標である活荷重たわみによる劣化度 D_{δ} とひび割れ密度による劣化度 D_{c} の関係を図-11 に示す。供試体 No.1 と No.2 に関してはこの2つの指標の関係はほぼ $D_{\delta}=D_{c}$ であるとみなせるが,供試体 No.3 のデータでは D_{c} の値が大きくなる傾向が顕著で



(No. 1, 9000 回走行時, 1 回目計測)

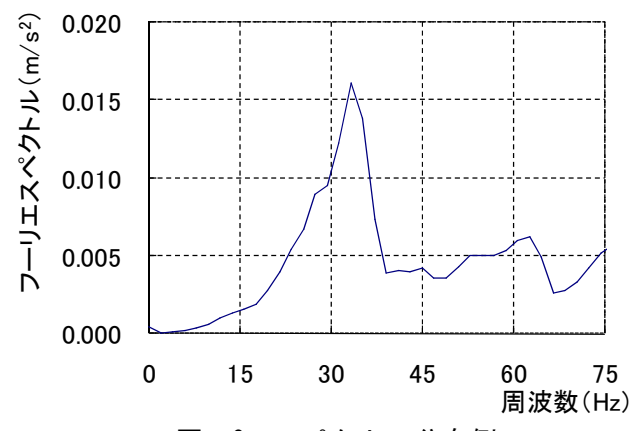


図-9 スペクトル分布例 (No. 1, 9000 回走行時, 1 回目計測)

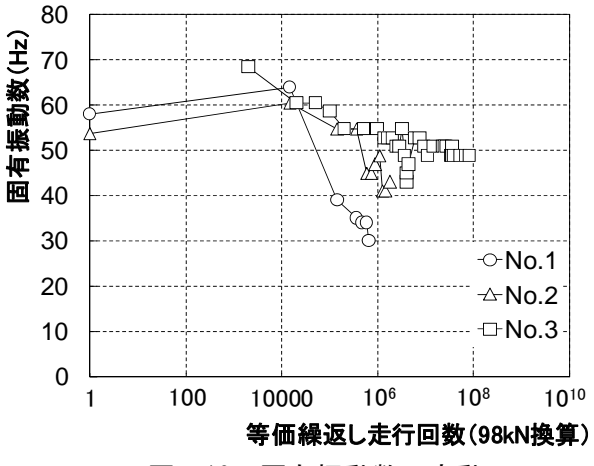


図-10 固有振動数の変動

ある。このことから、 D_c は D_δ よりも安全側の評価を与える可能性がある。

次に、 D_{δ} や D_{c} と固有振動数の関係を図-12、図-13 に示す。これらの図から、固有振動数と 劣化度 D_{δ} , D_{c} との間にはある程度の相関が認め られる。しかし、固有振動数と劣化度 D_{c} との関

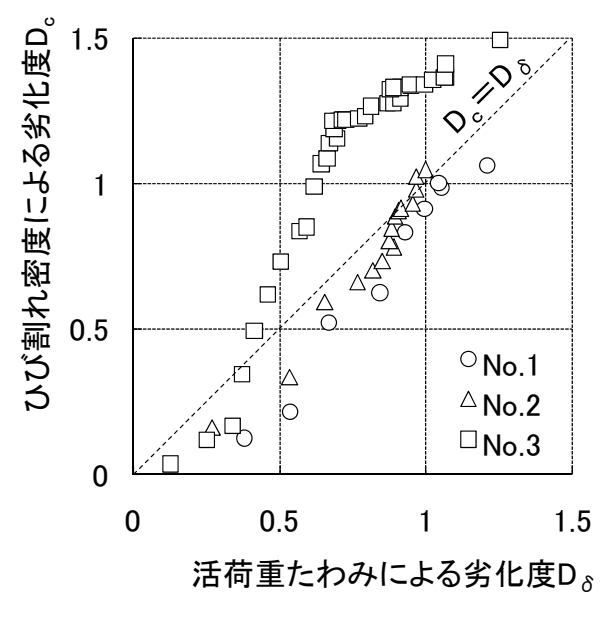


図-11 劣化度 D_s と D_c の関係

係では供試体毎の差が大きく見える傾向がある。 このことは供試体間のひび割れ網形成過程におけるひび割れ分散の程度に起因しているものと 推測されるが、今回の試験では明確な影響因子 を見出すには至っていないため、今後も検討が 必要であると考えられる。

4. まとめ

本研究では RC 床版を用いた輪荷重走行試験 と衝撃振動試験を並行して行うことにより,次 の知見を得ることができた。

- 1) RC 床版における疲労の損傷の程度を示す指標である劣化度が増加すると固有振動数は低下する傾向を有している。
- 2) RC 床版の活荷重たわみから与えられる劣化度 D_{δ} と固有振動数の関係と比較して,ひび割れ密度から与えられる劣化度 D_{c} と固有振動数の関係には RC 床版に載荷された荷重履歴の影響が大きく出る傾向を有している。

謝辞

本研究で使用した供試体の製作,使用に際して日本大学 岩城一郎助教授,首都高速道路下西勝氏に多大なるご協力をいただいた。ここに記して感謝の意を表すものである。

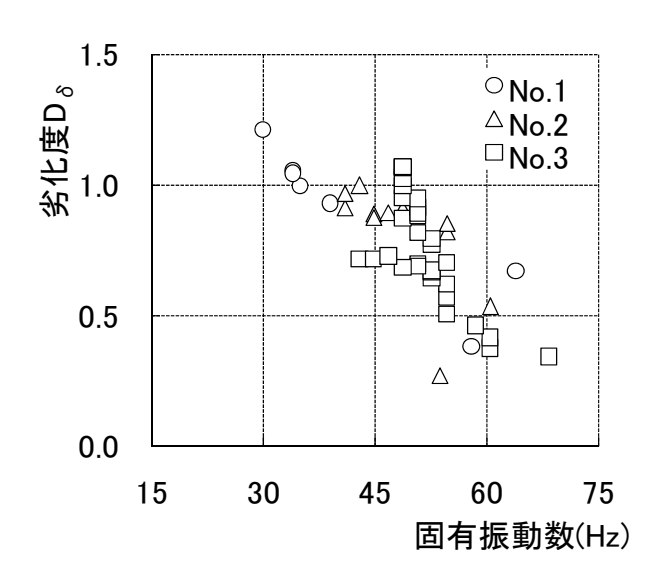


図-12 固有振動数と劣化度 Д♂の関係

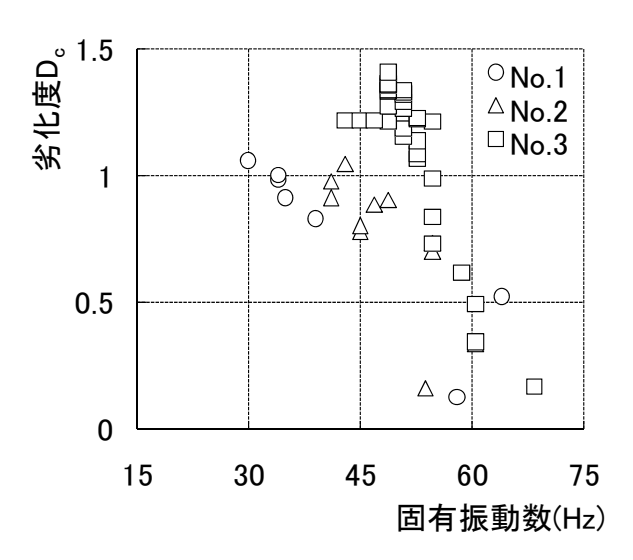


図-13 固有振動数と劣化度 D。の関係

参考文献

- 1) 土木学会メインテナンス連合小委員会: 社会 基盤メインテナンス工学,東京大学出版会, 2004.3
- 2) 松井繁之,前田幸雄:道路橋R C床版の劣化 度判定法の一提案,土木学会論文集,No.374/ I-6,pp.419-426,1986.10
- 3) 土木学会コンクリート委員会: コンクリート標準示方書 [維持管理編], 土木学会, 2001
- 4) 例えば、大西弘志、永田淳、長屋優子、鈴木 統:クランク式試験装置を用いた道路橋床版 の共通輪荷重走行試験、第5回道路橋床版シ ンポジウム講演論文集、pp.31-38,2006.7